

20141

HOJA DE PAMPLONA (25-08) 141

DOCUMENTACION COMPLEMENTARIA:

FOTOGRAFIAS



25-08-AD-EU-2010

Vista de la Higa de Monreal, borde oriental del cabalgamiento de la Sierra de Alaiz.

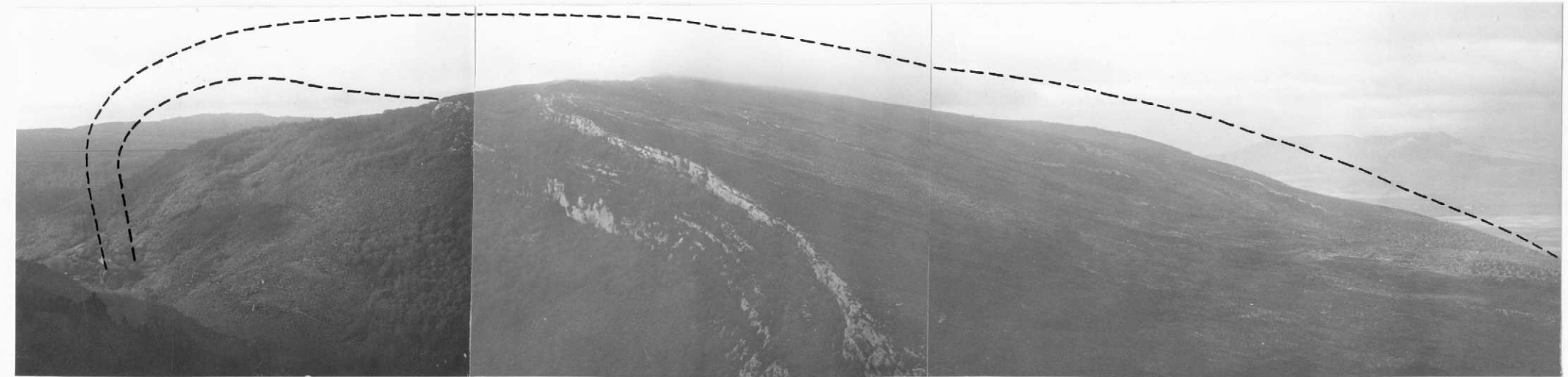


FOTO 260: Anticlinal de Alaiz.

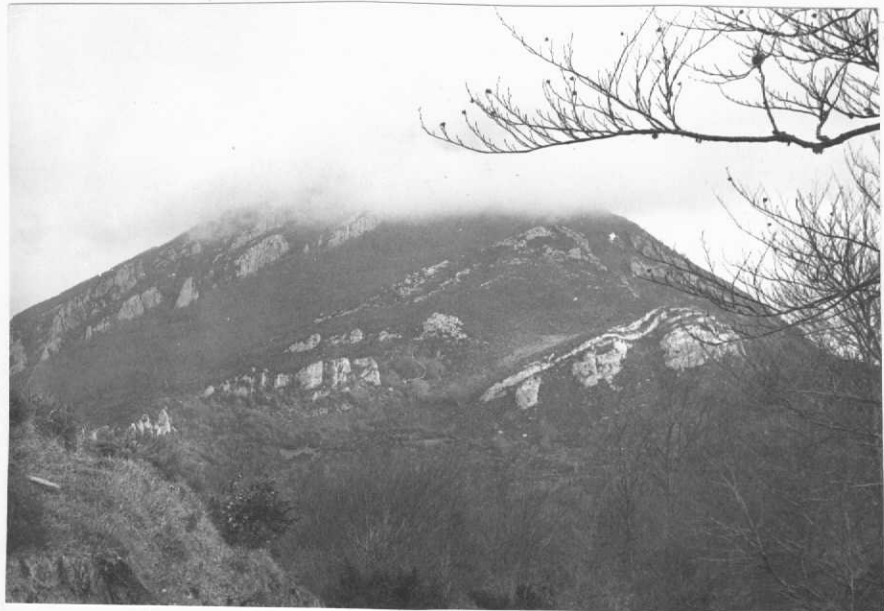


FOTO 261: El anticlinal cabalgante de Alaiz.



FOTO 262: Caliza nummulítica lutecienne.



FOTO 263: Sierra de Sarvil, formando un acantilado a lo largo de la falla de Echauri. En el acantilado los potentes bancos lutecientes y por encima las calcarinatas más o menos impuras biarritzenses. Por debajo las margas de Pamplona, al Sur de la falla.

FOTO 264: El Luteciense Superior en una cantera abandonada. A la derecha la falla de Echauri.

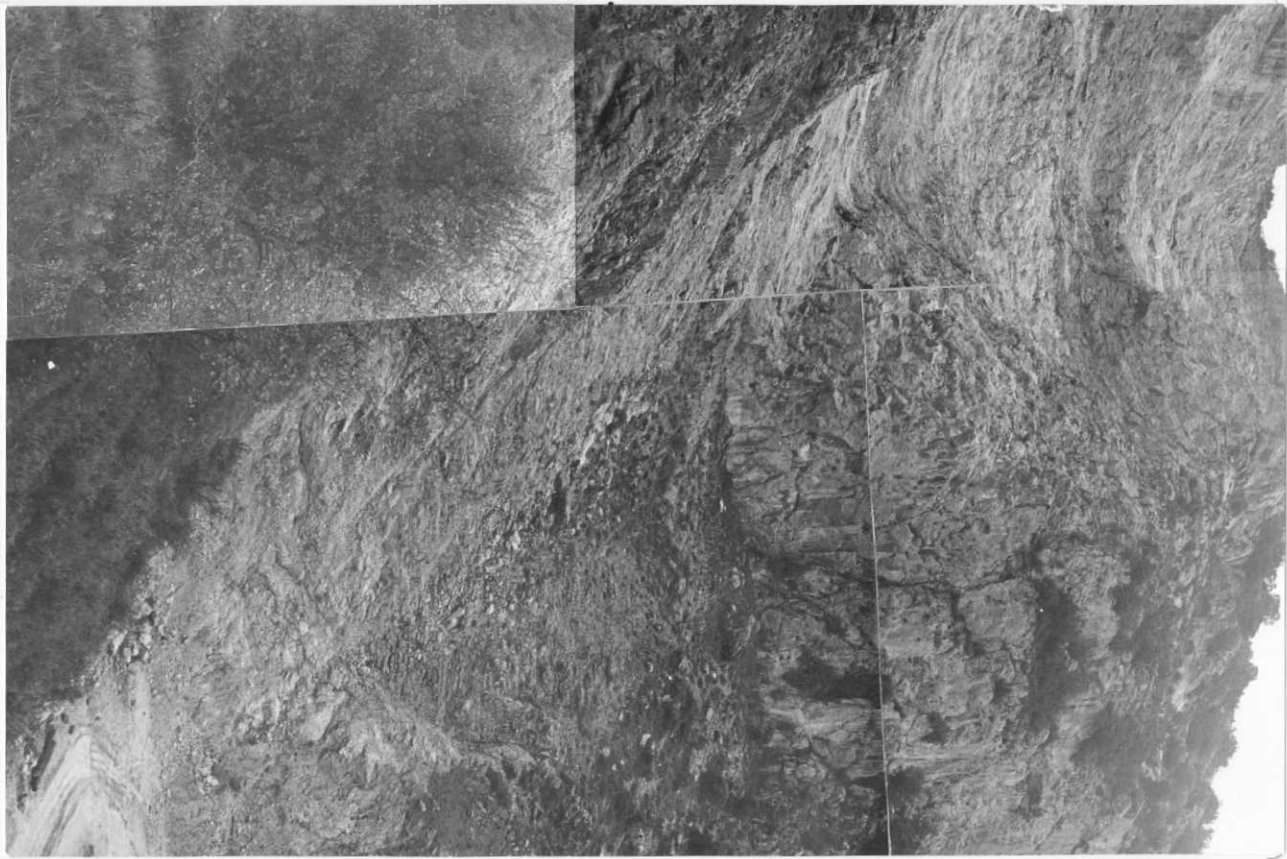


FOTO 265:

La falla de Echauri.



FOTO 266:

El banco principal Luteciense Superior, corona-
do por el banco superior
calizo.



FOTO 267:

Base del banco anterior.



FOTO 268:

Parte alta del banco anterior.

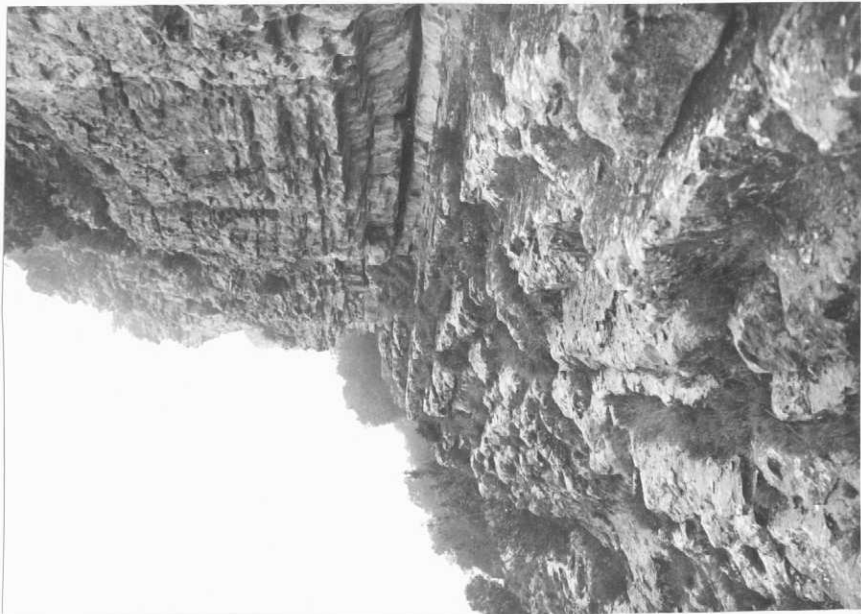
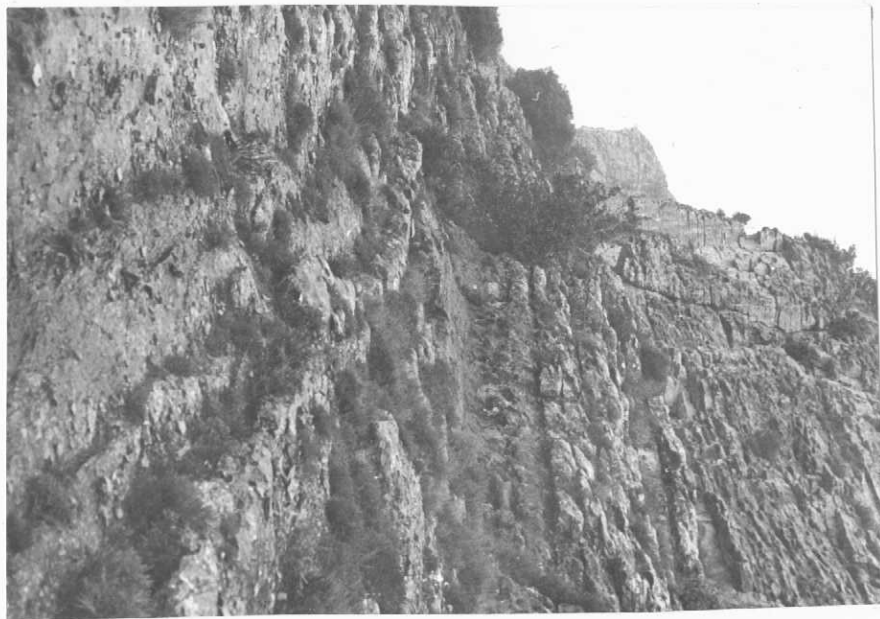


FOTO 269:
Otro punto de vista del nivel anterior.



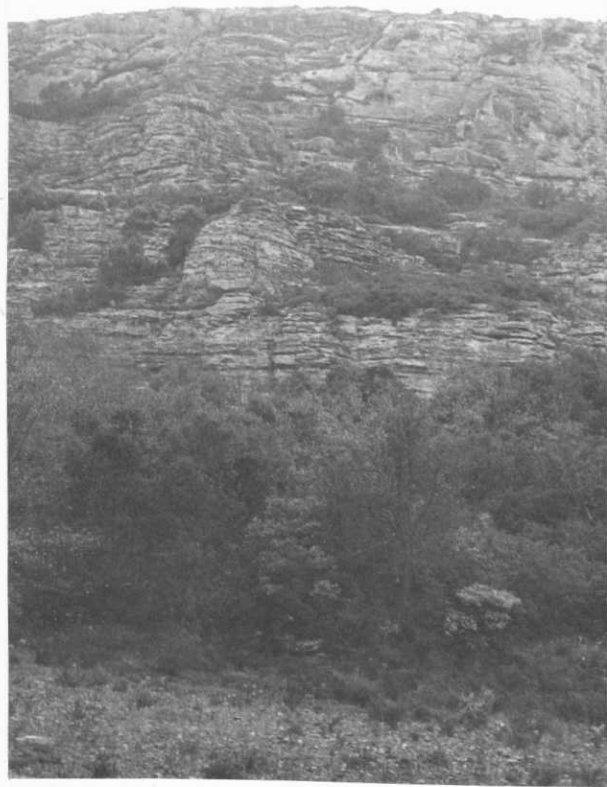


FOTO 270:

Parte superior del Luteciense y -
calcarenitas y calcirruditas bia-
rritzienses.

FOTO 271: Brecha de la base del Biarritzense.





FOTO 271 a:
Detalle del contacto.



FOTO 271 b:
Textura de la brecha.



FOTO 272:

Calcareña gruesa de la
base del Biarrizense.



FOTO 273:
Niveles fosilíferos de las
calcareitas.



FOTO 274:
Calcarenitas biarritzienses
y sobre ellas los niveles -
oscuros de las calcarenitas
margosas.

FOTO 275:

La falla de Echauri en las calcarenitas.

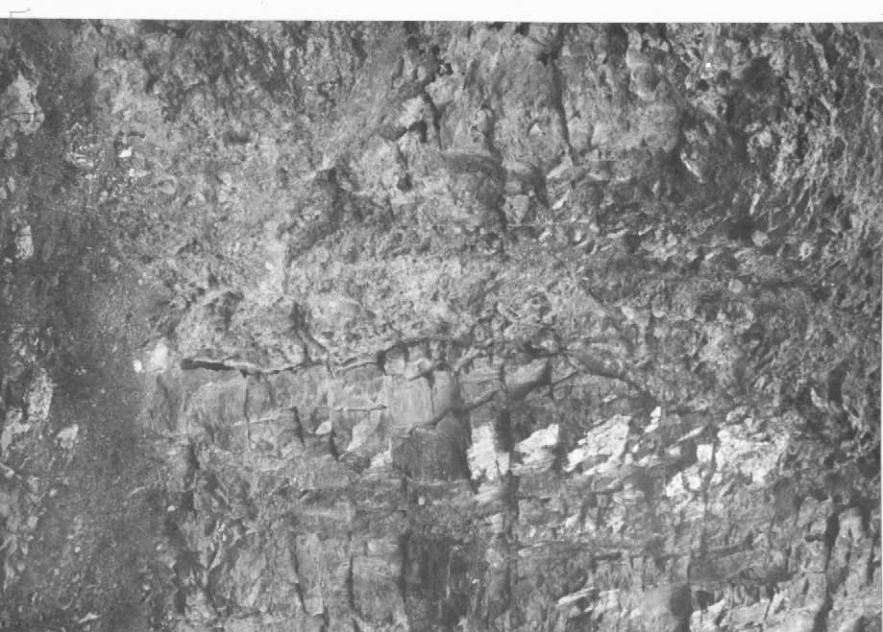




FOTO 276:
Estratificación cruzada en
las calcarenitas.

FOTO 277:

Estratificación cruzada en
las calcarenitas (detalle).



FOTO 278:

Las calcarenitas impuras mar-
gosas biarritzienses.

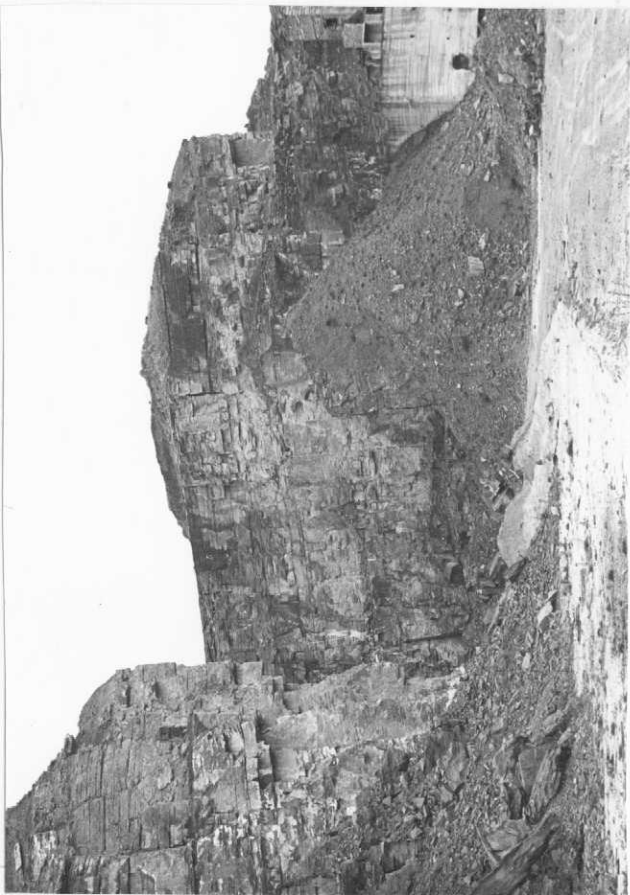




FOTO 279:
Discordancia priaboniente.



FOTO 280:
Arenisca gruesa con cemento
calizo. Nivel detritico -
priaboniense discordante.

FOTO 281:

Olaz sobre las margas priabonienses. Al fondo se adivina entre la bruma la mancha de vegetación sobre los conglomerados aquitanienses, y por debajo las areniscas de la formación de Guendulain.

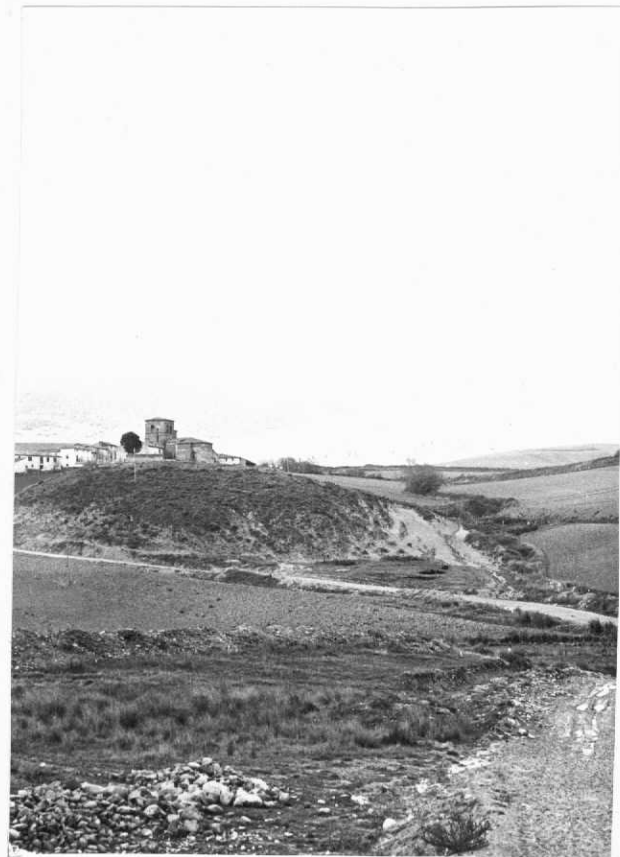




FOTO 282:

Formación de Guendulain desde las salinas de - Olaz. En la parte alta las areniscas, debajo - las margas rojas y las margas fajeadas.



FOTO 283:
Vista del nivel de areniscas de
Guendulain.

FOTO 284:

Contacto del nivel de margas ro
jas con las areniscas de la for
mación de Guendulain.



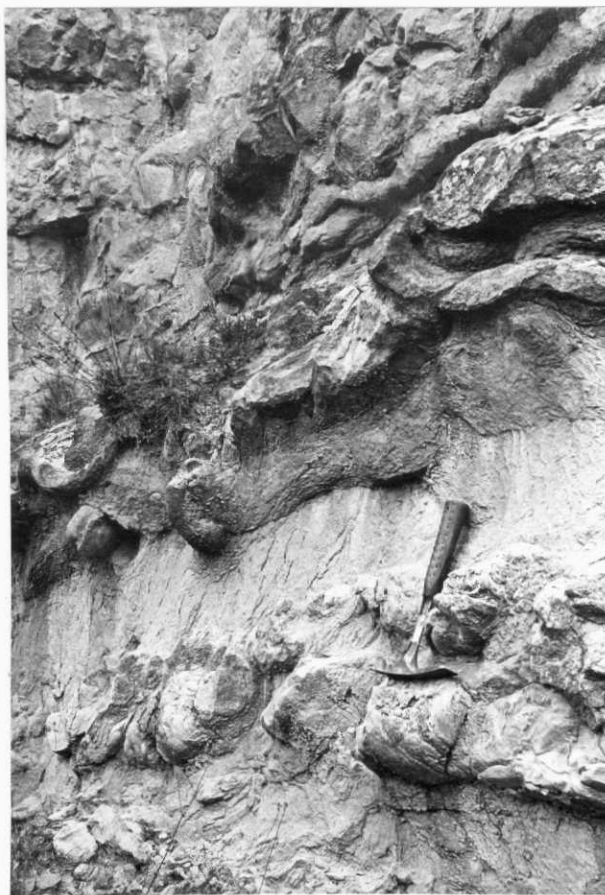


FOTO 285:

Estructuras de sobrecarga en el tramo de arenis
cas de Guendulain.

FOTO 286:

El mismo fenómeno de la anterior en otro nivel del mismo tramo.



FOTO 287:

Restos de estructuras de sobrecarga procedentes - del tramo de areniscas de Guendulain, caídas junto a la salina de Olaz.



FOTO 288:

Detalle de la anterior.





FOTO 289:
Ripple-marks en las areniscas de
la Formación Guendulain en la
Iglesia de Galar.

FOTO 290:
Estructuras de sobrecarga
en las areniscas de Guen-
dulain.

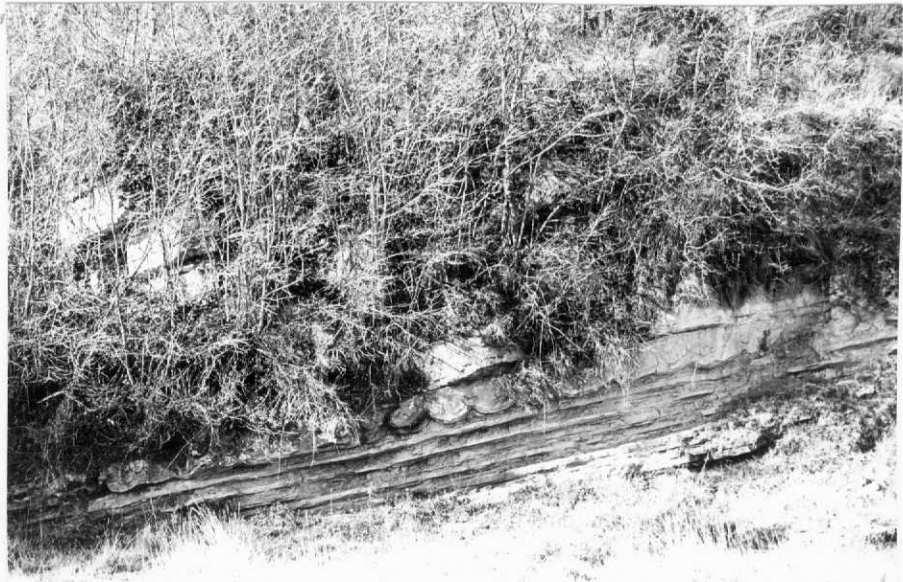
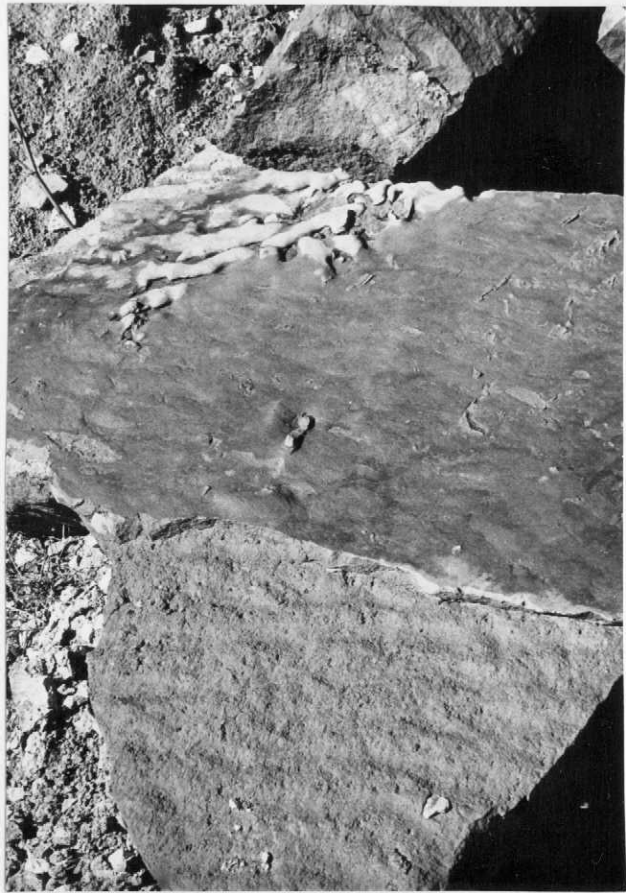




FOTO 291:
Ripples de la formación
Guendulain.

FOTO 292:
Ripples de la formación
Guendulain.



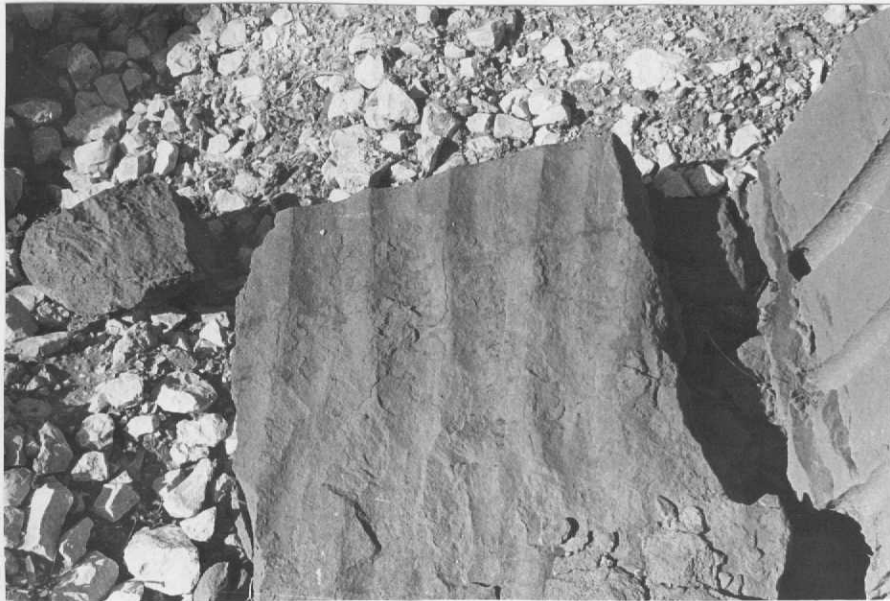


FOTO 293:
Ripples de la formación
Guendulain.



FOTO 294:
Estructuras de sobrecarga
con deslizamiento. Vergen
cia clara hacia el Norte.



FOTO 295:
Desde el glacis al Norte -
de Olaz, los conglomerados
aquitanienses en los que -
entra la niebla. Más abajo,
a la derecha, los conglome
rados pliocenos y debajo -
el tramo de areniscas de -
Guendulain, limitado a la de
recha (N) por la falla de -
Beriaín.



FOTO 296:

Conglomerados aquitanienses discordantes sobre
las margas sannoisienses y las areniscas de -
Guendulain.



FOTO 297: Terraza de travertino (nivel inferior) producida por el manantial termal de Ibero que hoy mana a nivel mucho -- más bajo.



FOTO 298: Terraza alta de travertino, con origen semejante a la de la fotografía anterior.



FOTO 299: Lo mismo que la foto anterior pero desde otro punto de vista.



FOTO 300: Fracturas y desplazamientos producidos en las margas por la sobrecarga de una escombrera de sal.